

مقایسه تغییرات پاسخ ناشی از راستای اعمال مؤلفه‌های متعامد افقی شتاب‌نگاشت زلزله

بهرج حسینی هاشمی (استادیار)

مسعود حسن‌زاده (کارشناس ارشد)

پژوهشگاه بین‌المللی زلزله‌شناسی و مهندسی زلزله

مجله علمی پژوهشی
سازمان داده‌گذاری و تئوری
چهل و سومین دوره
ص ۱۰۵-۱۷۰، شماره ۱، سال ۱۴۰۲
پژوهشگاه بین‌المللی زلزله‌شناسی و مهندسی زلزله

در تحلیل ساختمان‌ها به روش تاریخچه‌ی زمانی معمولاً مؤلفه‌های افقی و قائم شتاب‌نگاشت زلزله در دو جهت عمود بر امتدادهای اصلی ساختمان اثر داده می‌شوند و پاسخ‌های ایجاد شده در اعضاء ملاک طراحی قرار می‌گیرند. این پاسخ‌ها با تغییر زاویه‌ی شتاب‌نگاشت‌های متعامد افقی نسبت به محورهای اصلی ساختمان، تغییر خواهند کرد. در این نوشتاریک ساختمان فولادی منظم در پلان و ارتفاع به روش دینامیکی غیرخطی و با در نظر گرفتن هفت شتاب‌نگاشت تحلیل شده و زاویه‌ی بحرانی و نسبت افزایش پاسخ‌ها تعیین شده است. نتایج حاکی از متنبیر بودن زاویه‌ی بحرانی با تغییر شتاب‌نگاشت است. میانگین زاویه‌ی بحرانی در ستون‌ها ۲۲/۵ درجه و در تیرها ۹۰ درجه به دست آمده است و پاسخ‌ها تا حدود ۷۳٪ افزایش نشان داده‌اند. همچنین افزایش شدت زلزله و افزایش رفتار غیرخطی در اعضای سازه‌یی مورد بررسی قرار گرفته و نتایج نشان دهنده‌ی تغییر زاویه‌ی بحرانی و افزایش نسبت پاسخ‌ها بر اثر افزایش شدت زلزله است.

واژگان کلیدی: مؤلفه‌های افقی شتاب‌نگاشت، زاویه‌ی بحرانی، بیشینه‌ی پاسخ، رفتار غیرخطی.

behrok@iiees.ac.ir
mhassanzadeh'ce@yahoo.com

مقدمه

در این نوشتار سعی شده تعیین زاویه‌ی بحرانی براساس تغییر شکل خمیری اعضاء باشد. بدین منظور پاسخ‌های ایجاد شده در یک ساختمان ۵ طبقه با سیستم قاب خمیری و با تغییر زاویه‌ی شتاب‌نگاشت‌های متعامد افقی زمین لرزه از صفر تا ۱۸۰ درجه مورد بررسی قرار گرفته است. روش تحلیل غیرخطی بوده و برای مدل سازی غیرخطی اعضای سازه‌یی از دستورالعمل FEMA-۳۵۶ [۱] استفاده شده است. پaramترهای مورد بررسی نیز عبارت بوده است از «نسبت نیاز به ظرفیت تیرها و ستون‌ها در حالت ایمنی جانبی» براساس معیارهای پذیرش دستورالعمل FEMA-۳۵۶.

در آین نامه‌های لرزه‌یی برای تحلیل تاریخچه‌ی زمانی، دو مؤلفه‌ی افقی و قائم شتاب‌نگاشت زمین لرزه را در نظر می‌گیرند. در استاندارد ۲۸۵۰ که مبنای طراحی لرزه‌یی ساختمان‌ها در کشور است، هر زوج شتاب‌نگاشت به طور هم‌زمان در دو جهت عمود بر هم و در امتدادهای اصلی ساختمان اثر داده می‌شوند. هنگامی که مؤلفه‌های شتاب‌نگاشت در راستای محورهای اصلی ساختمان در نظر گرفته نشوند، پاسخ اعضا سازه‌یی نسبت به حالتی که مؤلفه‌های شتاب‌نگاشت زمین لرزه با محورهای اصلی ساختمان هم راستا در نظر گرفته شده‌اند، متفاوت خواهد بود. [۱]

در عمل، زاویه‌ی مؤلفه‌های متعامد شتاب‌نگاشت‌های زلزله نسبت به محورهای اصلی ساختمان؛ برای زلزله‌ی طرح مشخص نیست. بنابراین طراحی براساس مؤلفه‌هایی که در راستای محورهای اصلی ساختمان قرار دارند، ممکن است چندان قابل اطمینان نباشد. تحقیقات مختلفی بر روی زاویه‌یی که در آن پاسخ بیشینه رخ می‌دهد، صورت گرفته است. در بیشتر این تحقیقات از روش طیف پاسخ استفاده شده است. [۲-۴] عده‌یی از محققین نشان دادند که زاویه‌ی بحرانی یک مؤلفه‌ی پاسخ می‌تواند تا ۲۰٪ بزرگ‌تر از زمانی باشد که مؤلفه‌های زمین لرزه در راستای محور اصلی ساختمان اثر داده شده‌اند. [۴] همچنین در تحقیقی دیگر، مقدار لنگر خمی و نیروی محوری ستون‌ها پارامترهای مورد بررسی بوده‌اند و تحلیل نیز به صورت خطی صورت گرفته است. [۱] میزان پاسخ‌ها نسبت به زمانی که مؤلفه‌های شتاب‌نگاشت در راستای محورهای اصلی ساختمان در نظر گرفته شده بودند، تا حدود ۱۷۶٪ افزایش نشان می‌دهد.

مشخصات ساختمان مورد بررسی

ساختمان مورد بررسی یک ساختمان ۵ طبقه‌ی فولادی است. ستون‌های این ساختمان در کلیه‌ی طبقات به شکل قوطی و به عاد ۳۰ × ۳۰ سانتی‌متر و ضخامت ۱/۵ سانتی‌متر انتخاب شده است. تیرها نیز در کلیه‌ی طبقات از نوع IPE^{۳۰۰} است. سقف این ساختمان به صورت دیافراگم صلب در نظر گرفته شده است و جرم به کلیه‌ی گره‌های سازه وارد شده است. ارتفاع کلیه‌ی طبقات ۳ متر است و فاصله‌ی کلیه‌ی دهانه‌ها نیز ۴ متر انتخاب شده است. نسبت میرایی برای کلیه‌ی حالت‌های ارتعاشی ساختمان برابر ۵٪ در نظر گرفته شده است. جرم هریک از طبقات برابر ۷۲ تن است. در شکل ۱ پلان این ساختمان نشان داده شده است.

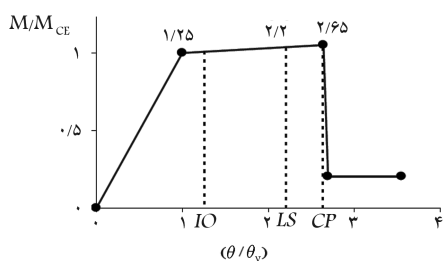
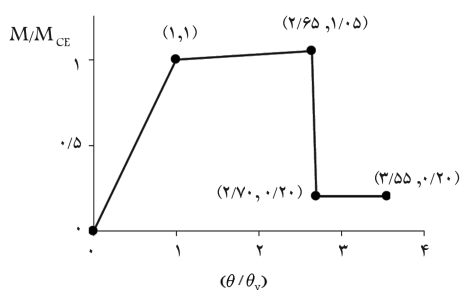
M مقدار لنگر خمی، P_{YO} مقدار نیروی محوری تسلیم بدون در نظر گرفتن لنگر P_{OL} برای نیروی محوری فشاری و T_{CE} برای نیروی کششی و MYO مقدار لنگر خمی تسلیم بدون در نظر گرفتن نیروی محوری (α همان M_{CE}) است. مقادیر در نظر گرفته شده برای توانهای α و β به ترتیب برابر ۲ و ۱/۱ است. به ازای هر یک از مقادیر P و با در نظر گرفتن $1/f_{PM} = 1$ و حل معادله فوق بر حسب M در هر دو جهت مقادیر MYP_1 و MYP_2 به دست می آید. با استفاده از این مقادیر و معادله ۷ می توان معادله سطح تسلیم فولاد را در صفحه $(M_1 - M_2)$ به دست آورد.

$$f_{MM} = \left(\frac{M_{\mathfrak{r}}}{M_{YP\mathfrak{r}}} \right)^\gamma + \left(\frac{M_{\mathfrak{r}}}{M_{YPR}} \right)^\gamma \quad (\mathbb{V})$$

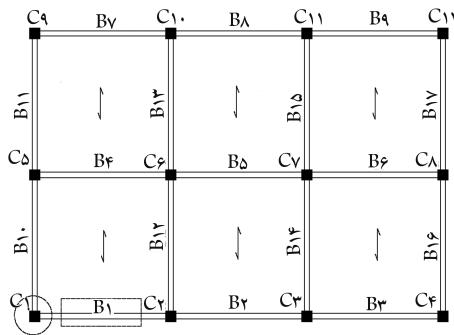
در معادله ۷ مقادیر ۷ برابر ۴ در نظر گرفته شده است. در جدول ۱ ظرفیت ستون ها بدون در نظر گرفتن اندرکشش ارائه شده است. اثرات سخت شدگی کرنشی با در نظر گرفتن شیبی برابر ۳٪ شیب قسمت ارجاعی در نظر گرفته می شود. برای به دست آوردن پارامترهای منحنی نیرو-غیربر مکان و معیارهای پذیرش، می توان از جدول ۶-۵ استوارالعمل FEMA-۳۵۶ استفاده کرد که در این مورد، در شکل ۲ این پارامترها و منحنی ها آمده است. چنان که مشاهده می شود در دروانی برابر $y = 6/50$ عضو با کاهش مقاومت همراه خواهد بود که میزان این کاهش $\approx 20\%$ مقاومت حد تسلیم است. منحنی ارائه شده به عنوان پوش منحنی هیسترزیس است و عضو تجارتی ربارهای لرزه بی از آن تعیین می کند. در برنامه RAM-Perform، مدل های مختلف رفتار هیسترزیس همچون مدل Takeda و... وجود ندارد و به جای آن از منحنی پوش استفاده می شود. برای کاهش سختی اعضا با افزایش چرخه ها از ضریب انalf انزرسی

حدول ۱. ظرفیت ستون‌ها.

مشخصات	$L(m)$	γ
1.8×1.8	$M_r(t.m)$	
1.8×1.8	$M_r(t.m)$	
1.5×1	$P(ton)$	
1.5×1	$T(ton)$	$1.8 \times 1.8 \text{ cm} (t = 1.5 \text{ cm})$



شکل ۲. منحنی لنگر-دوران ستون‌ها و معیارهای پذیرش.



شکل ۱. پلان ساختمان.

مدل سازی

[۷] Perform^{۳D} از برنامه‌ی سازی مدل‌سازی خطي غیر بوده و برای استفاده شده است. در تحلیل غیرخطی، تعیین منحنی نیرو-تغییر مکان برای هر عضو که بیان‌گر رفتار رخنه‌ی آن است ضرورت دارد. برای مدل‌سازی اعضا از ضوابط FEMA-۳۵۶ استفاده شده است. ستون‌ها اعضای هستند که تحت دستورالعمل آندرکنش نیروی محوری فشاری و لنگر خمشی قرار دارند. و نیز با توجه به این تأثیرات نیروی محوری فشاری و لنگر خمشی قرار دارند. و نیز با توجه به این که ستون‌ها از نظر نیروی محوری فشاری ترد دارند، از کارانه‌ی پایین مقاومت برای ظرفیت فشاری، P_{CL} ، استفاده می‌شود:

$$P_{CL} = A \cdot F_{cr} \quad (\text{v})$$

که در آن A سطح مقطع ستون و F_{cr} نش بحرانی حد کمانش است. F_{cr} با استفاده از رابطه‌ی ۲ و ۳ به دست می‌آید:

$$\zeta \lambda_c > 1/\delta \Rightarrow F_{cr} = \frac{\zeta}{\lambda_c^r} F_y \quad (2)$$

$$\zeta^{\lambda}|\lambda_c \leq 1/\delta \Rightarrow F_{cr} = (\circ, \delta \lambda^{\lambda_c}) F_y \quad (3)$$

در این رابطه‌ها:

$$\lambda_c = \left(\frac{KL}{r} \right)_{\max} \sqrt{\frac{F_y}{\pi E}}$$

رفتار ستون‌ها در کشش رفتاری نرم است؛ لذا مقاومت مورد انتظار ستون‌ها (T_{CE}) با استفاده از رابطه‌ی Ψ محاسبه می‌شود:

$$T_{CE} = A \ F_{ye} \quad (\text{F})$$

مقاومت خمسی مورد انتظار (M_{CE}) بدون در نظر گرفتن نیروی محوری، با استفاده از رابطه ۵ به دست می‌آید:

$$M_{CE} = Z \ F_{ye} \quad (5)$$

برای محاسبهٔ سطح تنش تسلیم از روش تاویل-دیرلین^۱ استفاده شده است. [۸] معادلهٔ سطح تسلیم فولاد در صفحهٔ $(P - M)$ به شکل زیر است:

$$f_{PM} = \left(\frac{P}{P_{Y^\circ}} \right)^\alpha + \left(\frac{M}{M_{Y^\circ}} \right)^\beta \quad (9)$$

که در آن f_{PM} مقدار تابع تسليم (برای حد تسليم برابر ۱)، P مقدار نیروی محوری،

نیاز به ظرفیت تیرها و ستون‌ها در حالت اینمی جانبی براساس معیارهای پذیرش دستورالعمل F-356، و برای هر بارگذاری بیشترین مقادیر محاسبه شده است. در بخش دوم اثر افزایش رفتار غیرخطی در پاسخ‌ها مورد بررسی قرار گرفته است. روند انجام تحلیل مشابه بخش اول است. در این بخش، سازه تحت اثر شتاب‌نگاشتهای افقی زلزله‌ی المسترتو قرار گرفته که بیشینه‌ی شتاب در آن، با مقادیر $25g$, $5g$, $5g$, $1g$ مقایس شده‌اند. پاسخ‌های به دست آمده در ستون $C1$ و تیر $B1$ مقایسه شده‌اند.

بررسی نتایج

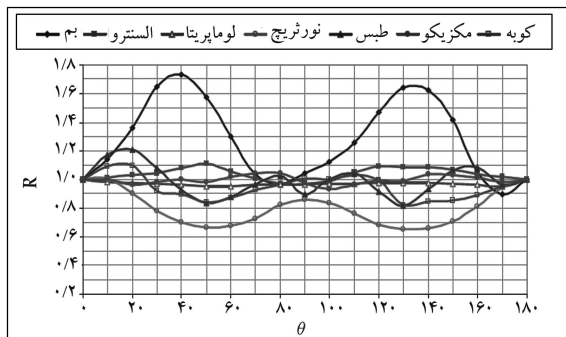
برای بررسی نتایج حاصل از تغییر زاویه‌ی شتاب‌نگاشتهای اعمالی بر پاسخ سازه، ضریبی به‌نام «ضریب اثر زاویه» را مطابق معادله 8 تعریف می‌کنیم:

$$R(\theta_i) = \frac{DCR(\theta_i)}{DCR(\theta = 0)} \quad (8)$$

که در آن $DCR(\theta_i)$ بیان‌گر نیاز به ظرفیت برای زاویه‌ی θ_i و $(\theta = 0)$ است.

در شکل 4 ضریب اثر زاویه برای ستون $C1$ ارائه شده است. چنان‌که مشاهده می‌شود ضریب اثر زاویه، $R(\theta_i)$ ، در بیشتر زلزله‌ها از $1/2$ تجاوز نکرده و فقط در زلزله‌ی بم به $1/73$ رسیده است. زاویه‌ی بحرانی در این زلزله 40° درجه است. نتایج به دست آمده حاکی از متفاوت بودن زاویه بحرانی و ضریب اثر آن از یک زلزله به زلزله دیگر است. در جدول 3 زاویه‌ی بحرانی هریک از زلزله‌ها و ضریب اثر زاویه‌ی آن، $R(\theta_i)$ برای ستون $C1$ ارائه شده است.

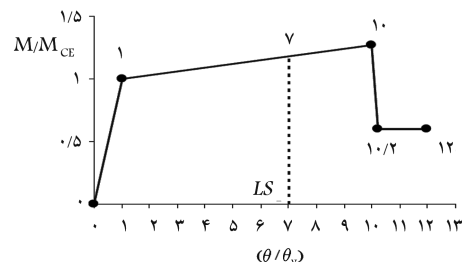
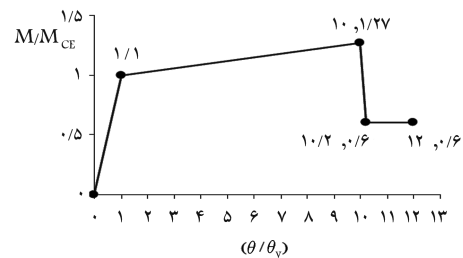
در شکل 5 ضریب اثر زاویه برای تیر $B1$ ارائه شده است. چنان‌که مشاهده



شکل ۴. ضریب اثر زاویه برای ستون $C1$.

جدول ۳. زاویه‌ی بحرانی و ضریب اثر زاویه‌ی ستون $C1$.

ضریب اثر زاویه ($R(\theta_i)$)	زاویه بحرانی (θ_{cr})	زلزله
$1/73$	40°	بم
$1/11$	50°	المستترو
$1/00$	0°	لوما پریتا
$1/01$	10°	نورثربیج
$1/20$	20°	طبس
$1/04$	80°	مکزیکو
$1/10$	20°	کوبه



شکل ۳. منحنی لنگر-دوران تیرها و معیارهای پذیرش.

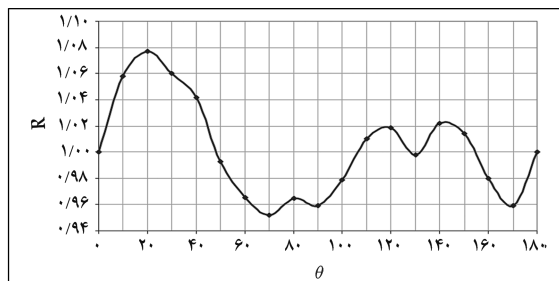
استفاده می‌شود. برای این منظور در نقاط مختلف از منحنی پوش این ضریب تعریف می‌شود. این ضریب بیان‌گر نسبت مساحت زیر منحنی بین دو حلقه‌ی متولی است. همان‌طور که پیش تر اشاره شد مقطع کلیه‌ی تیرها IPE 300 است. مقاومت خمشی مورد انتظار تیرها (M_{CE}) که با استفاده از رابطه‌ی 5 به دست آمده است، برابر $16,572$ تن است. منحنی نیرو-تغییر مکان و معیارهای پذیرش در نظر گرفته شده برای تیرها در شکل 3 آمده است.

نحوه انجام تحلیل

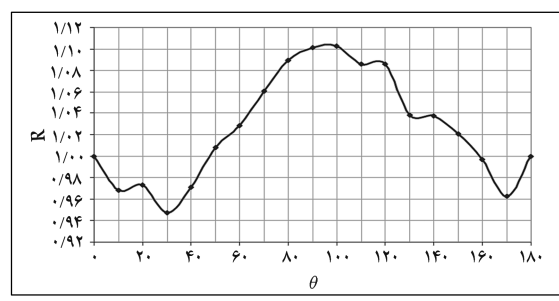
تحلیل‌های صورت‌گرفته شامل دو بخش است. در بخش اول، تاریخچه‌ی زمانی غیرخطی با اعمال مؤلفه‌های متعماد افقی شتاب‌نگاشتهای زلزله‌های ذکر شده در جدول 2 تحلیل شده است. زلزله‌های در نظر گرفته شده محتوای فرکانسی متفاوتی دارند. سازه تحت اثر هریک از این زلزله‌ها با تغییر زاویه مولفه‌های متعامد افقی شتاب‌نگاشت‌ها با راستهای اصلی ساختمان، تحلیل شده است. همچنین پاسخ‌های به دست آمده در ستون $C1$ و تیر $B1$ که در طبقه‌ی همکف قرار دارند مقایسه شده است. موقعیت این اعضاء در شکل 1 نشان داده شده است. زوایای مورد بررسی، $0^\circ, 10^\circ, 20^\circ, \dots, 180^\circ$ بوده و در حقیقت سازه برای هریک از زلزله‌ها 19 مرتبه تحلیل شده است. پارامترهای مورد بررسی عبارت‌اند از: نسبت

جدول ۲. زلزله‌های اعمال شده به سازه.

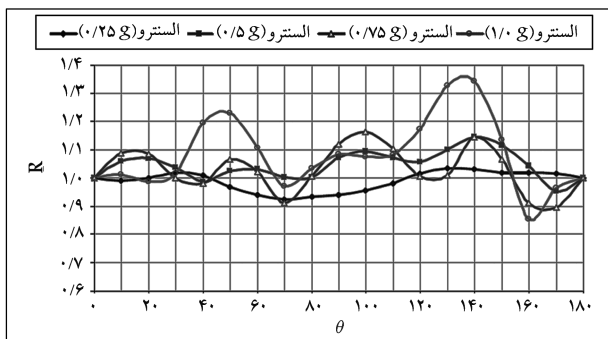
زلزله	بیشینه شتاب مولفه طولی (g)	بیشینه شتاب مولفه عرضی (g)
بم	$0,77$	$0,57$
المستترو	$0,21$	$0,31$
لوما پریتا	$0,47$	$0,41$
نورثربیج	$0,57$	$0,51$
طبس	$0,85$	$0,83$
مکزیکو	$0,59$	$0,62$
کوبه	$0,60$	$0,82$



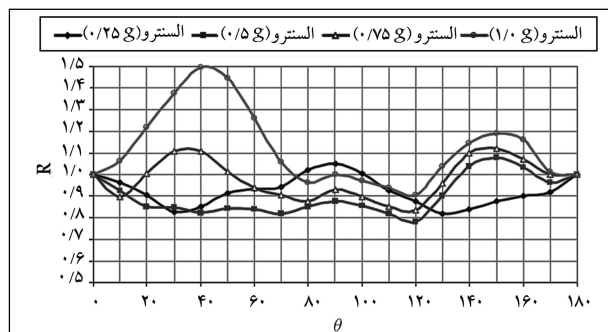
شکل ۶. میانگین ضریب اثر زاویه برای ستون C1.



شکل ۷. میانگین ضریب اثر زاویه برای تیر B1.

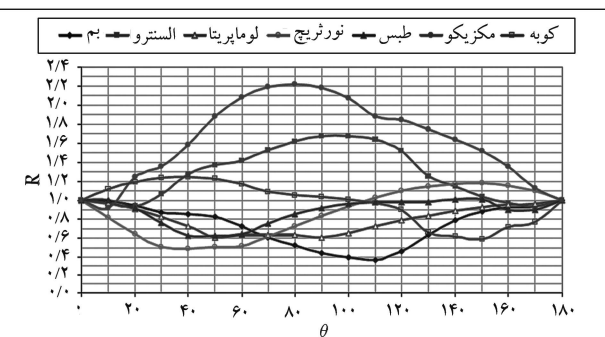


شکل ۸. اثر شدت زلزله بر ضریب اثر زاویه ستون C1.



شکل ۹. اثر شدت زلزله بر ضریب اثر زاویه تیر B1.

همچنین زاویه بحرانی پاسخ با افزایش رفتار غیرخطی تغییر کرده است و از زاویه 13° درجه در شتاب‌نگاشت با بیشینه شتاب $0.25g$ ، به 140° درجه در شتاب‌نگاشت با بیشینه شتاب $0.5g$ رسیده است و در بیشینه شتاب $0.75g$ زاویه بحرانی 90° درجه است. مقدار ضریب اثر زاویه نیز با افزایش رفتار غیرخطی



شکل ۵. ضریب اثر زاویه برای تیر B1.

جدول ۴. زاویه بحرانی و ضریب اثر زاویه تیر B1.

زلزله	زاویه بحرانی (θ_{cr})	ضریب اثر زاویه ($R(\theta)$)
بم	0°	1.00
الستترو	90°	1.67
لوما پرپیتا	0°	1.00
نورثریج	150°	1.18
طبس	150°	1.01
مکریکو	80°	2.21
کوبه	40°	1.25

می‌شود، ضریب اثر زاویه به مراتب بیش از ستون C1 است و برای زلزله مکریکو به بیش از $2/2$ می‌رسد. زاویه بحرانی در این زلزله 80° درجه است. نتایج به دست آمده حاکی از متفاوت بودن زاویه بحرانی از زلزله‌ی به زلزله دیگر است. در جدول ۴ زاویه بحرانی هریک از زلزله‌ها و ضریب اثر زاویه آن $R(\theta)$ برای تیر B1 ارائه شده است. در آینده‌های طراحی، پاسخ نهایی از میانگین پاسخ شتاب‌نگاشت‌ها به دست می‌آید تا محتمل‌ترین پاسخ برای طراحی انتخاب شود. بنابراین میانگین مقادیر پاسخ‌ها محاسبه، و برای ستون C1 و تیر B1 به ترتیب در شکل‌های ۶ و ۷ ارائه شده است. چنان‌که در این شکل‌ها مشاهده می‌شود، پاسخ بیشینه برای ستون در زاویه $22/5$ درجه، و در تیر در زاویه 90° درجه رخ داده است. در حقیقت، برای تیرها زمانی به پاسخ بیشینه خواهیم رسید که شتاب‌نگاشت‌ها در راستای محورهای اصلی ساختمان اعمال شوند. نکته‌ی دیگری که از این شکل‌ها برداشت می‌شود این است که اگرچه پاسخ‌ها در یک زلزله ممکن است برای تغییر زاویه بدچار تعییرات زیادی شوند، میانگین پاسخ‌های ناشی از اثر چند شتاب‌نگاشت که می‌تواند معیار طراحی قرار گیرد حدود 10° درصد افزایش خواهد داشت. بنابراین بهتر است علاوه بر شتاب‌نگاشت‌های هم‌زمان در دو جهت عمود بر هم و در امتدادهای اصلی سازه، در امتداد زاویه $22/5$ درجه نیز اثر داده شود تا پاسخ بیشینه در سازه حاصل شود.

به منظور بررسی اثر شدت رفتار غیرخطی در پاسخ‌ها، سازه تحت شتاب‌نگاشت‌های افقی زلزله‌ی الستترو که بیشینه شتاب در آن با مقادیر $0.25g$, $0.5g$, $0.75g$ و $1g$ مقایسه شده‌اند، قرار گرفته و پاسخ‌های به دست آمده در ستون C1 و تیر B1 نتایج حاصله که در شکل‌های ۸ و ۹ ارائه شده‌اند حاکی از این است که با افزایش شدت زلزله و افزایش رفتار غیرخطی در ستون، حساسیت تعییرات در پاسخ‌ها زیاد شده و تعداد فرازها و فرودها افزایش یافته است.

جدول ۵. زاویه‌ی بحرانی و ضریب اثر زاویه برای زلزله استنترو.

زلزله استنترو	زاویه بحرانی (θ_{cr})	ضریب اثر زاویه ($R(\theta_i)$)	
		ستون	تیر
		۱/۰۴	۱/۰۵
		۱/۱۴	۱/۰۸
		۱/۱۶	۱/۱۲
		۱/۳۴	۱/۵
	۹۰	۱۳۰	۱۴۰
$^{\circ}/25g$		۱۵۰	۱۵۰
$^{\circ}/50g$		۱۵۰	۱۵۰
$^{\circ}/75g$		۱۴۰	۴۰
۱g			

- نتیجه‌گیری**
- زاویه‌ی بحرانی و ضریب اثر زاویه از هر زلزله به زلزله‌ی دیگر متفاوت است.
 - در آینین نامه‌ی ۲۸۰° به منظور تحلیل دینامیکی از شتاب‌نگاشته‌های متعامد در جهت‌های اصلی ساختمان استفاده می‌شود. اما میانگین نتایج حاصل از زلزله‌های مختلف بیان‌گر این است که پاسخ بیشینه برای ستون‌ها در زاویه‌ی ۲۲,۵ درجه و برای تیرها در زاویه‌ی ۹۰ درجه رخ خواهد داد. بنابراین بهتر است علاوه بر شتاب‌نگاشته‌های هم‌زمان در دو جهت عمود بر هم و در امتدادهای اصلی سازه، در امتداد زاویه‌ی ۲۲/۵ نیز اثر داده شود تا پاسخ بیشینه در سازه حاصل شود.
 - افزایش شدت زلزله و به طبع آن، افزایش رفتار غیرخطی در سازه، سبب تغییر زاویه‌ی بحرانی و افزایش ضریب اثر زاویه خواهد شد.

افزایش یافته، و در بیشینه شتاب ۱g این افزایش نسبت به دیگر حالات بیشتر بوده است. در مورد تیرها نیز وضعیت مشابهی مشاهده می‌شود. در جدول ۵ زاویه‌ی بحرانی هریک و ضریب اثر زاویه‌ی آن، $(R(\theta_i))$ ، با افزایش شدت زلزله برای زلزله استنترو ارائه شده است.

پابلوشت

- S.El-Tawil and G. Deierlein

منابع

- Penzien, J.; and Watabe, M. "Characteristics of 3-D earthquake ground motion" *Earthquake Eng. Struct. Dyn.* **13**, PP. 365-373 (1975).
- Athanatopoulou, A.M; Tsourekas, A. and Papamanolis, G. "Variation of response with incident angle under two horizontal correlated seismic components", *Earthquake Resistant Engineering Structures V*. WIT press, Southampton, (sep.2005).
- Anastassiadis. K.; Avramidis, I. and Panetsos, P. "Concurrent design forces in structures under three-
- Lopez, O.A. and Torres R. "The critical angle of seismic incidence and the maximum structural response.", *Earthquake Eng. Struct. Dyn.*, **26**, pp.881-894,(1997).
- Lopez, O.A.; Chopra, A.K. and Hernandez, J.J. "Evaluation of combination rules for maximum response calculation in multicomponent seismic analysis", *Earthquake Eng. Struct. Dyn.*, **30**, pp. 1379-1398 (2001).
- FEMA 356, "Prestandard and commentary for the seismic rehabilitation of buildings.", Bulding Seismic Safety Council, Washington, DC., (2000).
- RAM Perform 3D. "User manual",RAM International,Carlsbad,CA,(October 2000).
- El-Tawil, Deierlein G. "Nonlinear analysis of mixed steel-concrete frame, part I and II.", *Journal of Structural Engineering*,**126**(6), (June 2001).